

Переход от базального венчика к стеблю ровный. Общая длина трех фрагментов 136 мм. Диаметр стебля сужается от 2,70 мм у вершины до 2,05 мм на расстоянии 10 мм от чашечки; затем на протяжении следующих 126 мм сужение стебля происходит очень медленно, до 1,85 мм у дистального конца (рис. 22). Крепящееся к субстрату дистальное расширение не сохранилось. Стебель крупный на всем своем протяжении. В вершинной части стебля (10 мм от чашечки) высота членников меняется от 0,1 мм до 0,5 мм, при этом низкие членники чередуются с более высокими; швы между членниками, в секторах кренулярных блоков, зубчатые (пиловидные). Среди низких имеются также неравнозитевые членники, выходящие наружу только отдельными секторами. По мере удаления от чашечки высота низких членников постепенно увеличивается и на расстоянии около 25 мм передоводится членников разной высоты почти не заметно; зубчатость швов слаживается. Максимальная высота (1,7 мм) членников достигают на расстоянии 80 мм от чашечки, более дистально высота колеблется от 1,5 до 1,7 мм. Максимальная величина отношения высоты членника к его диаметру 0,9.

В проксимальной части (8–10 мм от основания чашечки) стебль ломен пятиполостной, его диаметр равен приблизительно 0,2 от диаметра стебля (табл. 8.6). Ареол широкий, 0,5 от радиуса членника, сета стерема ареолы отличается от сети стерема остатальной части членника крупными ячейками. 10 кренулярных блоков по 1–2 кренулы в каждом. Между кренулярными блоками расположены межкренулярные депресии.

В медиальной части стебля ломен круглый, 0,35 от диаметра стебля (табл. 9.1). Есть широкая медулла. Ареола 0,3 от радиуса стебля, сеть стеремы ареолы отличается от сети стерема остатальной части членника крупными ячейками. 10 кренулярных блоков по 1–2 кренулы в каждом. Поверхность артикуляционной фасетки между кренулярными блоками гладкая. По внешнему краю фасетки она застает синоностозиальную сетью.

ЗАМЕЧАНИЯ. Наличие 10–12 кренулярных блоков исключает роды *Camaretinus*, *Belyaevicrinus*, *Feracrinus*, *Gephyrocrinus*, *Huyscrinus*, *Pilocrinus* и *Thalassocrinus*, у которых это число не превышает 8. У *Calatocrinus*, напротив, большее число кренулярных блоков — 14–16. *Dumetocrinus* исключается, как имеющий составные проксимальные колумнации. Кренулярные блоки *Anachalyptocrinus nefertiti* имеют более сложную структуру (многочисленные кренулы разной длины). Сходство с экземпляром со станции 3151 морфология артикулюмов имеют только два вида, *Anachalyptocrinus atlanticus* и *Pilocrinus* (*Chambersacrinus*)

58

brucei (10 или 9–10 блоков, включающих 1–2 прямых коротких кренулы). В пользу *P. (Chambersacrinus)* и против *?A. atlanticus* свидетельствует наличие трех швов между BB.

Род *BELYAEVICRINUS*
Mironov et Sorokina, gen. n.

ДИАГНОЗ. Род подсемейства *Pilocrininae* с регулярной формулой срединной части руки: 2+1+1 or 2+1+1+1. Максимальное число последовательных мускульных соединений 1. Интеррадиальные поля тегмена расположены на разной высоте. Тегмен возвышается до Br3 в интеррадиусах BC и CD, до Br1 в интеррадиусе AE. Прослеживается тенденция в расположении тергальных пластинок в срединный ряд. Первая пиннula на Br6. Брахиали не сужаются у внутреннего края руки. На одной стороне руки менее 10 пиннул (около 5). Генитальные расширения широкие и хорошо развиты. Две ряда генитальных пластинок на одной стороне пиннulu. Кренулярных блоков 7 по 1–2 прямых кренулы в каждом.

DIAGNOSIS. A genus of *Pilocrininae* with regular formula of medial part of arm: 2 + 1 + 1 or 2 + 1 + 1 + 1. Maximal number of successive muscular joints 1. Interradial fields of tegmen not equal in their height. Tegmen elevates up to borders of Br3 in the interradius BC and CD, but up to Br1 in the interradius AE. There is tendency to arrangement of interradial plates into median row. The first pinnula at Br6. Brachiials don't become narrower at the inner margin of arms. Number of pinnules on one side of arm less than 10 (about 5). Genital expansions wide and well developed. Two rows of genital plates in one side of pinnule. Crenular units 7 of 1–2 straight crenulae each.

СОСТАВ: *B. latipinnulus* sp. n. (типовой вид).

Belyaevicrinus latipinnulus
Mironov et Sorokina, sp. n.
Рис. 23; табл. 9.2–6, 11.3.

ДИАГНОЗ. Как у рода.

DIAGNOSIS. As for the genus.

ГОЛОТИП. “Академик Курчатов”, ст. 896, 56°52,0' – 56°51,1' S, 24°59,0' – 24°59,1' W, 5651–5530 м, две разделенные чашечки с основаниями рук без базей, три фрагмента рук и два фрагмента стебля.

ОПИСАНИЕ. ГОЛОТИП. Точные размеры и пропорции чашечки неизвестны, так как она раздавлена. Ее максимальный диаметр около 6,8 мм. Поверхность BB и RR гладкая. Вырезки для основания рук мелкие, отношение глубины вырезки к ширине около 0,23.

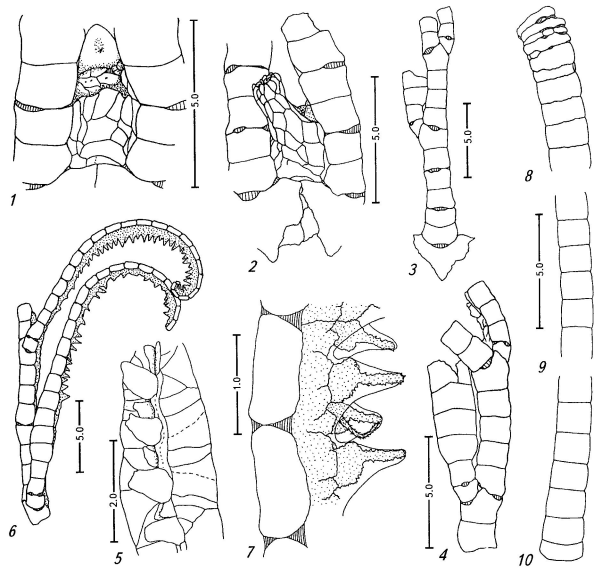


Рис. 23. *Belyaevicrinus latipinnulus* sp. n., станция 896, “Академик Курчатов”. Голотип (1–5) и фрагменты (6–10). 1 — наиболее высокая часть тегмена, интеррадиус BC, 2 — анальный конус, 3 — проксимальная часть руки, 4 — часть руки с первой пиннулой, 5 — генитальное расширение на первой пиннule, 6 — средняя часть руки, 7 — дистальная часть третьей пиннulu, 8, 9, 10 — проксимальная, средняя и дистальная части стебля.

Fig. 23. *Belyaevicrinus latipinnulus* sp. n., Station 896, “Akademik Kurchatov”. Holotype (1–5) and fragments (6–10). 1 — the highest part of tegmen, interradius BC, 2 — anal cone, 3 — proximal part of arm, 4 — part of arm with the first pinnule, 5 — genital expansion of the first pinnule, 6 — medial part of arm, 7 — distal part of the third pinnule, 8, 9, 10 — proximale, mesistete, and dististete.

МАТЕРИАЛ. “Академик Курчатов”, ст. 896, 51.12.1971, 56°52,0' – 56°51,1' S, 24°59,0' – 24°59,1' W, 5651–5530 м, две разделенные чашечки с основаниями рук без базей, три фрагмента рук и два фрагмента стебля.

ОПИСАНИЕ. ГОЛОТИП. Точные размеры и пропорции чашечки неизвестны, так как она раздавлена. Ее максимальный диаметр около 6,8 мм. Поверхность BB и RR гладкая. Вырезки для основания рук мелкие, отношение глубины вырезки к ширине около 0,23.

Высота тегмена в отдельных интеррадиусах различна. В интеррадиусах BC и CD тегмен

наиболее высокий, почти вертикально возвышается до нижнего края Br3, а затем резко изгибается под углом 90 градусов и в горизонтальной плоскости простирается до основания оральной пластины (рис. 23.1). В интеррадиусе AE тегмен наиболее низкий, гравитирует только с нижним краем Br1, 2. Амбулакральные каналы подходят к руке на уровне Br3–Br4. Высота от верхнего края R до верхней оральной пластины 3,7 мм. Оральные пластины мелкие, с округло-треугольной вершиной; в срединной части пластины слабо развитое углубление, в котором находится

тонкий маленький шип. Места расположения пор в адоральной части интеррадиальных полей слегка возвышаются в виде папилл. Имеется тенденция к расположению темильных пластинок в срединный ряд (рис. 23.3). Аналитический конус выше орального (рис. 23.2); расстояние от края RR до вершины анального конуса 4,1 мм.

Руки обломаны на уровне Br4, Br5, Br5, Br12 и Br13. Отношение ширин Br1 к ширине верхнего края R около 0,63. Br1-4 приблизительно равны по высоте, но Br1 шире остальных Brs (рис. 23.3). Структура наиболее сохранившихся двух рук 1 + 2,3 + 4,5 + 6,7 + 8 + 9 + 10,11 + 12, и 1 + 2,3 + 4,5 + 6,7 + 8 + 9 + 10 + 11,12 + 13. Р1 расположена на Br5 слева и Br10 или Br11 справа. Все Brs достигают внутреннего края руки и не сужаются у своего внутреннего края.

Руки обломаны в районе генитального расширения. Генитальные расширения наиболее развиты на левой Р1 (рис. 23.4). Они имеют вид широких вздутий, начинающихся с Pn3 и завершающихся у Pn8-Pn9. Добавочные пластинки неправильной формы, по два ряда с каждой стороны Р. Пластинки первого ряда крупные, расположены в одной плоскости с пластинками противоположного аналогичного ряда и почти соприкасаются друг с другом своими дистальными краями, отделяя гонады от амбулакрального канала и пищевого желобка (рис. 1.4, рис. 23.5). Пластиники второго ряда мелкие, расположены под углом по отношению к пластинкам первого ряда. Покровные пластинки с окружной вершиной, расположены по средней линии поля, образованного добавочными пластинками. Покровные пластинки правого ряда значительно крупнее таковых левого ряда. Между двумя покровными пластинками одного ряда иногда имеется мелкая промежуточная пластинка. Оба ряда покровных пластинок настолько плотно сомкнуты, что снаружи выглядят как один ряд (рис. 23.5).

ПАРАТИП. Второй экземпляр представлен сильно раздавленной мешечкой без BB; максимальный диаметр около 9,7 мм. Руки обломаны на уровне Br3, Br4, Br4, Br4 и Br10. Тегмен возвышается до Br3 в интеррадиусах BC и CD и до Br1 в интеррадиусе AE. Аналитический конус выше орального. Структура наиболее полно сохранившейся руки 1 + 2,3 + 4,5 + 6,7 + 8 + 9 + 10,11. Р1 на Br6 слева и Br10 справа.

ФРАГМЕНТЫ. Фрагменты рук относятся к проксимальной, средней и дистальной частям. Проксимальный фрагмент состоит из 12 Brs; его структура 1 + 2 + 1 + 1 + 2 + 1 + 1 + 1 + 2. Ps как у голотипа. Фрагмент срединной части руки состоит из 11 Brs (рис. 23.6), его структура 2 + 1 + 1 + 2 + 1 + 1 + 1 + 2 + 1. Все Brs достигают внутреннего края руки и не сужаются к паратипу.

Из-за сильной поврежденности проксимальной части стебля форму люмена и точный характер рельефа установить невозможно. Но имеющиеся фрагменты одного членика рельеф представлен высокими холмобразными расстояниями стереома, достигающими максимальной высоты приблизительно на половине расстояния от наружного края

ются у своего внутреннего края. У одной из Ps (у проксимального конца фрагмента) обломана только самая дистальная часть, состоит из 23 Brs, длина 25 мм. По фрагментам не удается судить о точном числе Brs в одной руке; скорее всего, менее 40. Генитальное расширение слабо выражено, включает по два ряда добавочных пластинок с каждой стороны. Дистальное генитальное расширение (до конца Р) простиряется одиночным рядом добавочных пластинок. Жесткое сечеление между Ps только в районе генитального расширения (Pn3-Pn8), на остальном протяжении Р соединения подвижные. Покровные пластинки, расположенные на генитальном расширении, с окружной вершиной, расположенные более дистально завершаются длинным терминальным зубцом (табл. 11.3). Дистальные покровные пластинки покрыты прозрачной пленкой из мягкой ткани (рис. 23.7). Другая Р (у дистального конца фрагмента) сохранилась полностью; 23 мм длиной, состоит из 23 Brs, без генитального расширения. Фрагмент дистальной части руки состоит из 9 Brs; его структура 2+1+2+1+2+1. Одна из Ps сохранилась полностью, 14 длиной, состоит из 15 Ps, без генитального расширения.

Два фрагмента стебля длиной 63 мм и 21 мм. Первый фрагмент более тонкий и, скорее всего, принадлежит голотипу (рис. 23.8-10). Он включает в себя конец проксимальной части, срединную и дистальную части стебля. Стебель круглый, гладкий. Диаметр стебля 2,2 мм у проксимального конца, 1,47 мм в срединной части и 1,9 мм у дистального конца. Проксимальная часть изогнута и представлена четырьмя дисковидными члениками высотой от 0,3 мм до 0,6 мм, из них два членика разделены на сегменты (рис. 23.8). На наружной стороне изгиба стебля между члениками заметные прокладки из соединительной ткани. Переход от дисковидной формы члеников к клинодилической резкий: высота члеников увеличивается до 1,0 мм, а затем постепенно возрастает до 1,47 мм в срединной части. Максимальная величина отношения высоты членика к его диаметру 0,99 и также приходится на среднюю часть. Прикрепительный диск не сохранился. Диаметр члеников второго фрагмента около 1,5 мм, высота меняется от 0,85 до 1,3 мм, максимальная величина отношения высоты к диаметру членика 0,87. Фрагмент, вероятно, относится к паратипу.

К НОСУСИНИДАМ относятся фрагменты на "Суатех" были сфотографированы представители семейства Нуосцинид, которые имеют всего три или четыре крупные и широко отстоящие друг от друга Ps на одной стороне руки (Roux, 1980b, fig. 7). Эти хиокриниды встречаены в западной Тихоокеанской на тропических: 20°54' N, 109°02'5 W, 2665 m; 20°54'5 N, 109°01' W, 2650 m и 20°58' N, 109°17'5 W, 2646 m. Небольшое число Ps имеют только два из описанных видов *Belyaevicrinus latipinnulus* и *Nuoscrinus bethellianus*, но у *H. bethellianus* число Ps несколько больше (6-7), а руки и первые генитальные расширения должны выглядеть на фотографии более узкими. Сфотографированные морские лилии наиболее точно соответствуют *Belyaevicrinus latipinnulus*, так как у него всего около 5 широких Ps.

Членика до края люмена. В одном из таких возвышений имеется сквозное отверстие (табл. 9.3). Между возвышениями располагаются глубокие депрессии. Количество разрастаний на артикуляционной поверхности не менее 6 и не более 8.

В мезистите стебель в сечении круглый (табл. 9.4-6). Лоблен круглый, отношение диаметра люмена к диаметру фасетки 0,3. Ареола узкая, отношение радиуса ареолы к радиусу членика 0,18, яичек сети стереома ареолы несколько больше, чем на остальной части фасетки. Кольцо синоостозиальной сети по наружному краю ареолы не выражено. Кренулярные блоки 7 по 1-3 прямые или слабоизогнутые в каждом. Между кренулярными блоками имеются межблоковые депрессии.

ЭТИМОЛОГИЯ. Род назван в честь известного морского биолога Георгия Михайловича Беляева. Видовое название от *latus* (лат.) — широкий и *pinnula* (лат.) — перышко.

РАСПРОСТРАНЕНИЕ. Южно-Сандвичев желоб, 5651-5530 м.

?Belyaevicrinus sp.

Genre noueau ? Fomme D. Roux, 1980b: 902, fig. 7.

ДИАГНОЗ. Вид рода *?Belyaevicrinus* с 3-4 пиннулями на одной стороне руки. (Вид изображен только по подводным фотографиям).

DIAGNOSIS. A species of *?Belyaevicrinus* with about 3-4 pinnules on each side of arm. (Species is known from underwater photographs).

ЗАМЕЧАНИЯ. Во время французских экспедиций на "Суатех" были сфотографированы представители семейства Нуосцинид, которые имеют всего три или четыре крупные и широко отстоящие друг от друга Ps на одной стороне руки (Roux, 1980b, fig. 7). Эти хиокриниды встречаены в западной Тихоокеанской на тропических: 20°54' N, 109°02'5 W, 2665 m; 20°54'5 N, 109°01' W, 2650 m и 20°58' N, 109°17'5 W, 2646 m. Небольшое число Ps имеют только два из описанных видов *Belyaevicrinus latipinnulus* и *Nuoscrinus bethellianus*, но у *H. bethellianus* число Ps несколько больше (6-7), а руки и первые генитальные расширения должны выглядеть на фотографии более узкими. Сфотографированные морские лилии наиболее точно соответствуют *Belyaevicrinus latipinnulus*, так как у него всего около 5 широких Ps.

Таксоны неясного систематического положения — Order uncertain

К подотряду Нуосцинида В.Г. Кликушин (1984a) относит мезоййское семейство Суслориниды Sieverts-Doreck, 1953, состоящее из

родов *Cyclocrinus* Orbigny, 1850 и *Amaltheocrinus* Klikushin, 1984. Ранее (Rasmussen, 1978) семейство входило в состав отряда Millericrinida. Семейство Cyclocrinidae мы не включаем в состав отряда Нуосцинида по следующим двум причинам. Во-первых, циклокриниды имеют на дистальном конце стебля радикулярные отростки, то время как у представителей Нуосцинида на дистальном конце терминальное расширение. Во-вторых, Cyclocrinidae отличаются от хиокринид своеобразным рельефом соплечновидных поверхностей колумниалий, составленным из многочисленных грануловидных и изолированных друг от друга бугорков (табл. 11.4). В ряде случаев, например у *Cyclocrinis insignis* (Trautschold, 1859), бугорки группированы в радиальные валики (Кликушин, 1984, табл. VII.3, 4, 7, 8). Однако у одного вида семейства Cyclocrinidae, *Amaltheocrinus bodrakensis* Klikushin, 1984 (нижняя юра, Крым), артикуломы сходны с таковыми хиокринид. Крупные радиальные кренулы *A. bodrakensis* проявляют тенденцию к формированию кренулярных блоков, различающихся на длинные и короткие (Кликушин, 1984, табл. VII.8.). Сходство с хиокринидами усиливается наличием слившимися базалей. *A. bodrakensis* возможно следует исключить из состава Cyclocrinidae и отнести к Нуосцинида.

К Нуосцинида возможно относится современный род *Proisocrinus* Clark, 1910. Н. Rasmussen (1978) обособляет род в семейство Proisocrinidae Rasmussen, 1978, которое помещают в отряд Isoocrinida. Строение чашечки *Proisocrinus* сходное с таковыми Isoocrinida; в проксимальной части имеются такжеrudimentарные "циррусы". Однако по другим признакам *Proisocrinus* существенно отличается от изокринид. В.Г. Кликушин (1992: 67) обращает внимание на такие отличия от изокринид, как иной характер вставления рук, отсутствие пальмидного рисунка артикуломов стебля, наличие прикрепительного диска. По мнению ряда авторов (Clark A.H., 1910; Roux, 1978; Кликушин, 1992), проксимальные "циррусы" не являются достаточным доводом для отнесения *Proisocrinus* к Isoocrinida и оправданным представляет помещение *Proisocrinus* в отряд Millericrinida. Наличие прикрепительного лиска и радиальных кренул на соченовидных фасетках колумниалий сближает *Proisocrinus* с Нуосцинидами. Более того,rudimentарные "циррусы" этого рода чрезвычайно похожи на шипы проксимальной части стебля *Thyridasterius*. Единственное серьезное отличие от Нуосцинида — вставка рук на уровнях 1Br2 и 2Br2. Чтобы судить о систематическом положении *Proisocrinus* с большей уверенностью, необходимо дополнительные сведения о его родственных связях.

К семейству Нуосцинида ранее были отнесены два вымерших вида, *Calamocrinus illita-*